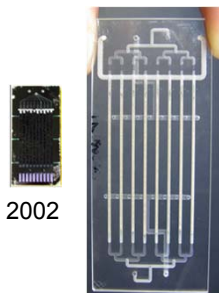


# マイクロリアクターは化学プロセスに どう役立つか(過酸化水素製造を中心に)



2002

2008



2013

2014年7月4日  
UMEMSME-AIST  
井上 朋也



## 本日の話題



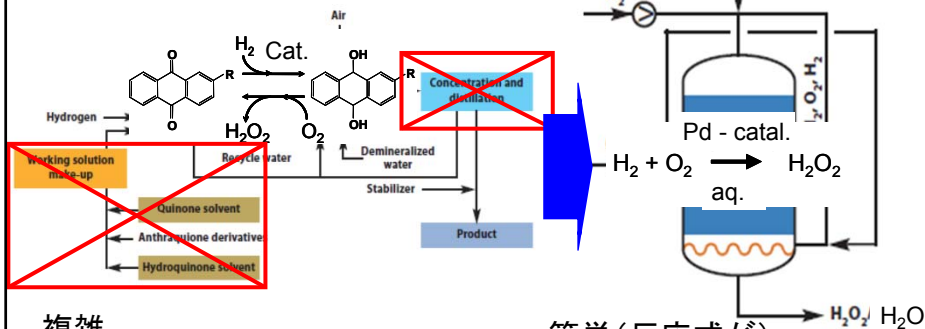
1. 背景～過酸化水素X直接製造Xマイクロリアクター
2. マイクロリアクター～デザインX触媒反応解析
3. まとめ、と、やりのこし



# 1. H<sub>2</sub>O<sub>2</sub> – its process

直接法  
(まだ産まれてません)

アントラキノン法(もうそろそろ70歳)



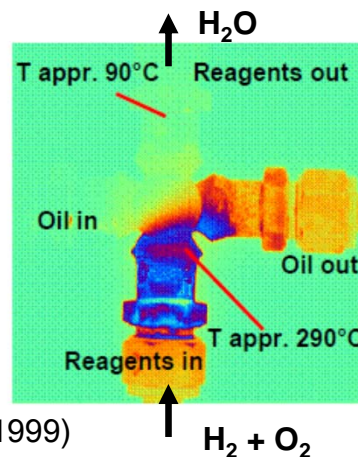
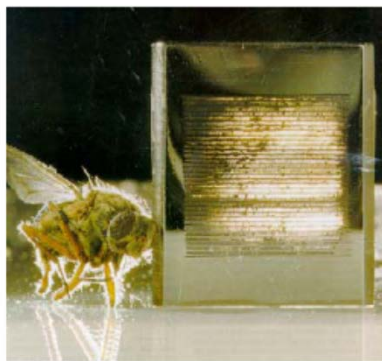
- 複雑。
- 60%に濃縮して出荷。
- コンビナート向き。
- 有機物(炭素分)の除去が課題の1つ。

- 簡単(反応式が)。
- オンサイト向き。
- (そのまま使えば)
- 有機物は混入は防げる。
- (溶媒次第)



# Microreactor for...H<sub>2</sub>-O<sub>2</sub> reaction

-幅300 μm マイクロチャンネルによる爆発反応の完全制御  
(Max Planck + FZK, 1998)

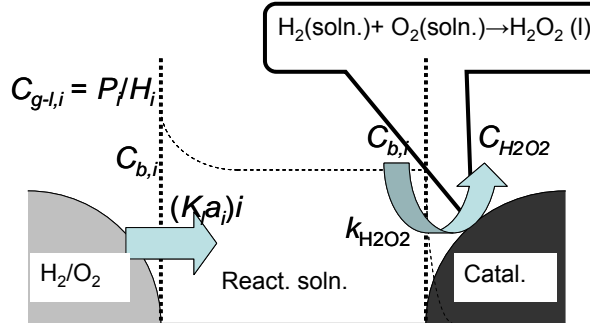


(Max Planck Inst. Annual Report, 1999)

-触媒をコートしたマイクロチャンネル。



## もちよつと複雑な直接製造法



- 実際には水素も酸素もいったん水に溶けて、**溶存水素および酸素**が触媒上で反応する(どちらも**溶けづらい**が)。
- 気液固の共存は**必須**。
- 物質移動効率は、高いほどよい。

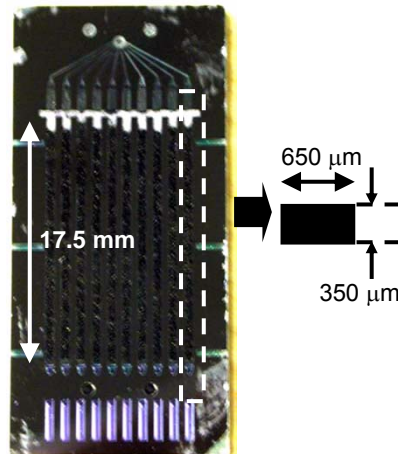
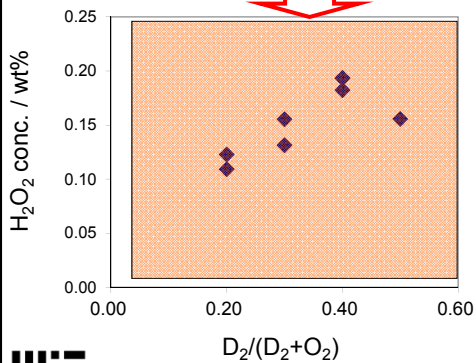
・・・どういふ反応器がよいのか？



## 2. Microreactor - for the Direct $H_2O_2$

\*Rapid heat removal (+ radical termination) at a channel wall = Perfectly controlled  $H_2-O_2$  reaction

All conditions are in **explosive region.**



Inoue, T., et al., IMRET7, (2003).  
Inoue, T., et al., IECR 2007, **46**,1153.



IMRET 7 - September 9, 2003

# 誰かつくってくれませんか



## Different Glass Fluidic Module: from lab to production

Increase throughput with similar:

- Pressure drop
- Residence time
- Heat exchange
- Mixing & Mass transfer

[T]: -60C to 230C  
[P]: up to 18 bar



## Pilot Scale Demonstration Unit



Cross Flow Design

- Partial Boiling Water Coolant
- Process length ~ 0.6 m
- Process microchannels = 40
- Coolant Length ~ 0.3 m
- Coolant microchannels = 425

Capacity = ~8 liters/day  
Conversion of CO<sub>2</sub> ~70%  
Selectivity to CH<sub>4</sub> ~15%

1,200 hour demonstration completed in 2007  
Current device operational 1,800 hours

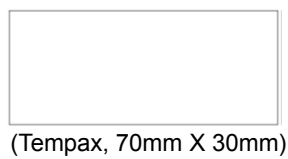
Corning: ものを詰めるのは不可。

Velocys: 気相反応。いきなり購入するのも...

...やはり自分でつくります。



# Reactor fabrication – for single bed



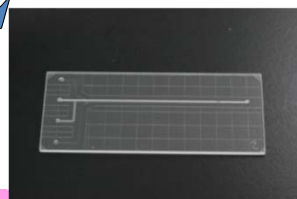
Etching



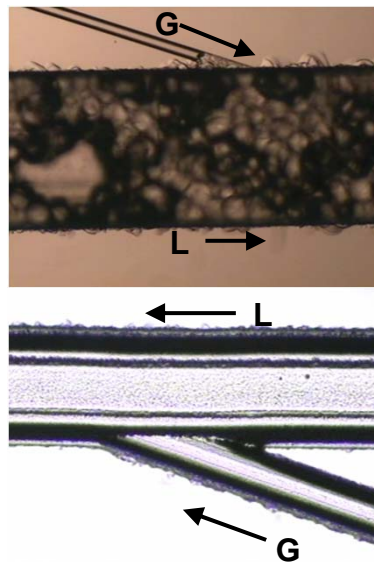
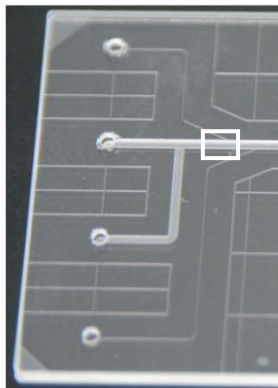
Micromachining



Thermal bonding



## 安定な“気液混相流”をつくる



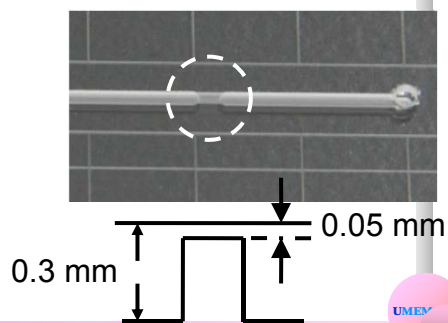
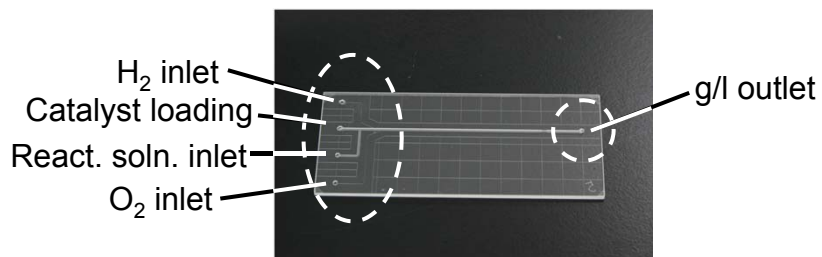
$$*\Delta P \propto \mu, V_s$$

$$(\mu_g \sim 10^{-3} \text{cP}, \mu_l \sim 1 \text{cP})$$

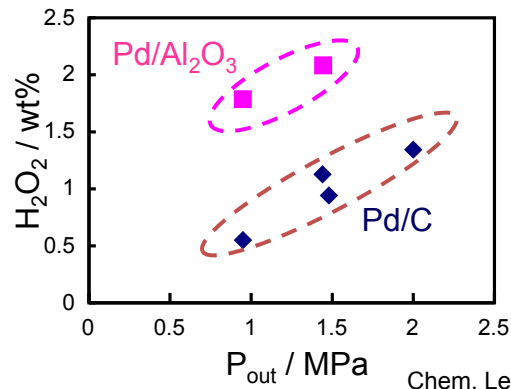
Chem. Eng. J., **160**, 909 (2010).



## 正しいシングルベッド



気液が正しく流れれば・・・

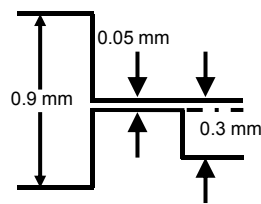
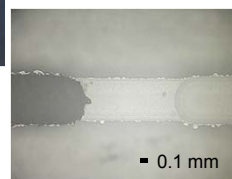
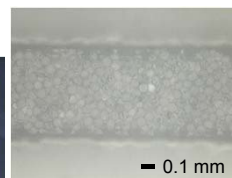
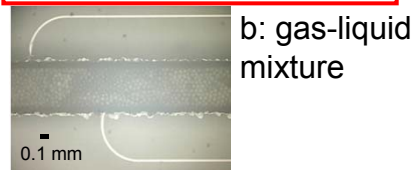
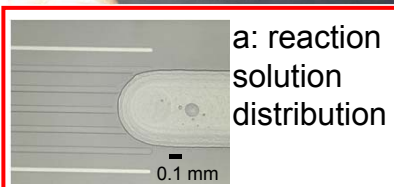
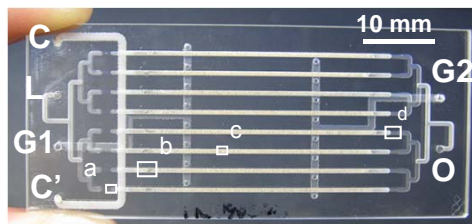


Chem. Lett. **38**, 820 (2009).  
Chem. Eng. J. **160**, 909 (2010).

・・・マイクロリアクターは、“理想的な”  
反応場である。



## Reactor design

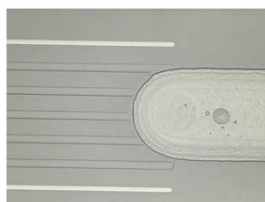
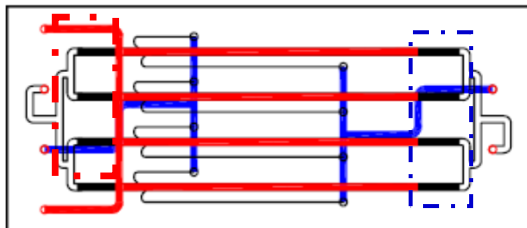




## Go #-up successful

$V_L=0.04$  ml/min (0.01 x4)

$V_G=2.0$  sccm (0.5 x4)



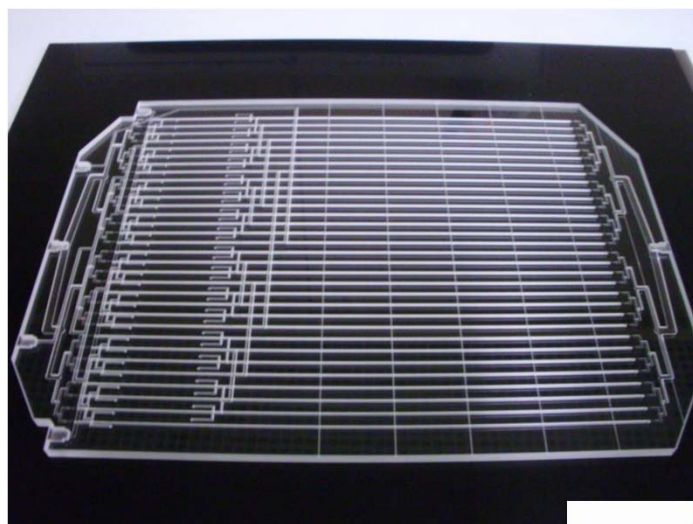
- Liquid distributor validates equal flow distribution among channels.

Proc. mTAS. 2010, 1694.

JJAP. 51, 06FK11 (2012).



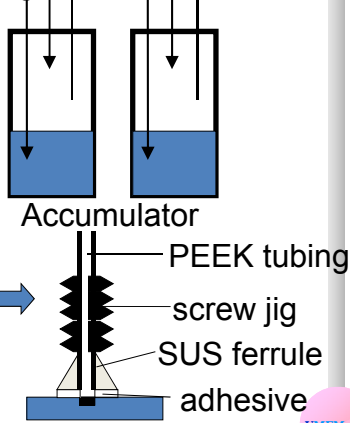
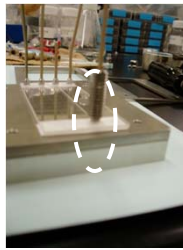
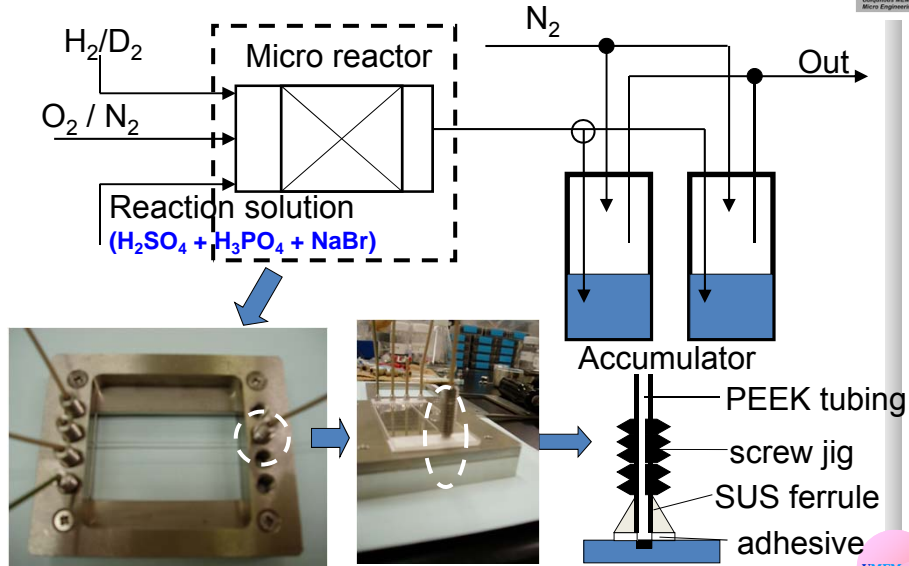
## How 32ch reactor looks like?



(to be in ナノテク展2014)



# 反応評価






National Institute of Advanced Industrial Science and Technology  
AIST



UMEM  
15

# Reactor performances

Reactor (Pd1-Au0.7/TiO <sub>2</sub> , Au/Pd=0.7) 1MPa, ca. 296 K	H <sub>2</sub> /(H <sub>2</sub> +O <sub>2</sub> ) (Liq. rate [mLmin <sup>-1</sup> ], gas rate [sccm])	H <sub>2</sub> O <sub>2</sub>				T <sub>surf</sub> [K]
		C <sub>H2</sub> [%]	S <sub>HO</sub> [%]	W <sub>HO</sub> [wt%]	Rate (cat. wt) [10 <sup>-4</sup> molh <sup>-1</sup> (g)]	
	0.2 (0.01, 5.0)	15	86	2.9	3.6 (0.017)	295
	0.2 (0.08, 40)	30	90	2.8	39.2 (0.121)	297
	0.2 (0.16, 80)	49	68	4.4	123 (0.271)	313
	0.1 (0.16, 80)	24	79	1.5	41.4	296

・・・ちゃんと“ナンバリングアップ”できました。

National Institute of Advanced Industrial Science and Technology  
AIST



UMEM  
16

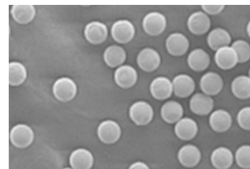


## 触媒...

-Pd/Al<sub>2</sub>O<sub>3</sub> was purchased from N. E. Chemcat Co. (5 wt%).

-Pd/TiO<sub>2</sub> and Pd-Au/TiO<sub>2</sub> were prepared by (co-) Impregnation, using chloride as metal resources.

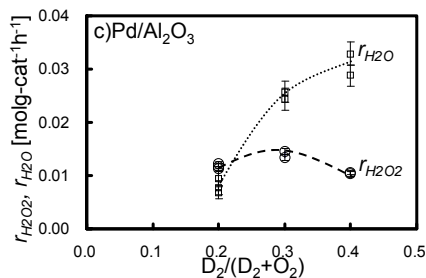
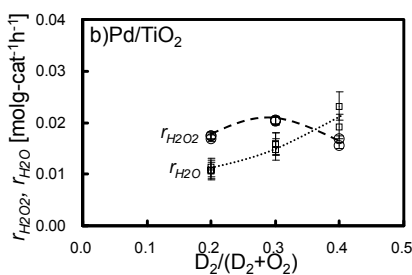
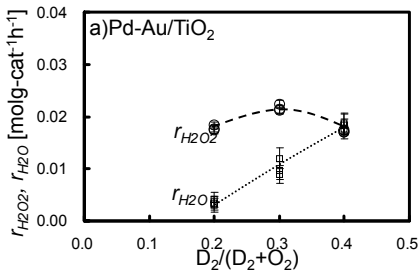
-Support morphology: spherical, 0.06 mm diameter, monodispersed.



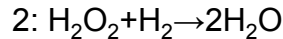
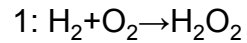
コバルトマテリアル株式会社

	Productivity	$\Delta P$	Stability	S. A.
TiO <sub>2</sub>	◎ (10%)	◎ (<0.1 MPa)	○	$\Delta$ (16m <sup>2</sup> g <sup>-1</sup> )
C	$\Delta$ (1-2%)	× (>0.4MPa)	× (burn off)	◎ (200m <sup>2</sup> g <sup>-1</sup> )
Al <sub>2</sub> O <sub>3</sub>	○ (6%)	◎ (<0.1 MPa)	◎	◎

## What is different?



-Reaction scheme:



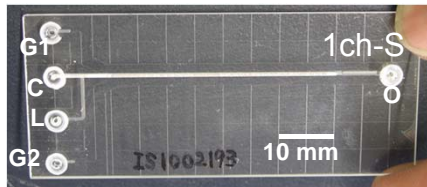
-TiO<sub>2</sub> supported catalyst suppresses 2, also with Au modification.

Fuel Proc. 108, 8 (2013).

# Reactor performances @ 1 MPa, RT.



Catalyst / reactor	Inlet condition $D_2/(D_2+O_2)$ ( $f_L, f_G$ )	$D_2$ conversion / $D_2O_2$ ( $H_2O_2$ ) production			
		C [%]	S [%]	W [wt%]	rate <sup>[b]</sup>
Pd/Al <sub>2</sub> O <sub>3</sub> (N. E., 5 wt%)					
8ch-S	0.1 (0.01, 40)	48	20	6.3	10.2 (0.7)
Pd/TiO <sub>2</sub>					
1ch-S+1ch-L	0.3 (0.01, 5.0)	81	46	10.4	14.9 (1.2)
Pd-Au/TiO <sub>2</sub> (Pd1-Au0.5)					
8ch-S	0.175 (0.01, 40)	22	50	11.7	20.5 (1.5)
1ch-S+1ch-L	0.3 (0.01, 5.0)	80	45	9.9	14.4 (1.2)



Inoue, T., et al., Fuel Proc. Tech., 2013, 108, 8. 19

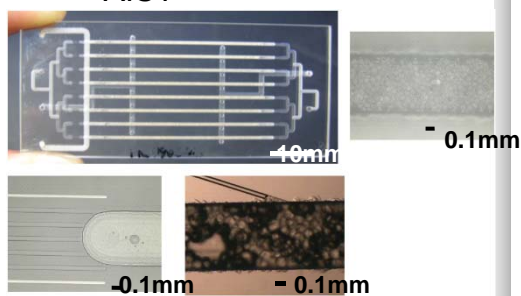
## 3. まとめ...

Conventional



- Batch / CSTR
- 5.0~9.5 MPa
- H<sub>2</sub>: 3.6 vol. %

AIST



-Reaction conditions become moderate, by *intensified heat/mass transfer.*

- PFR / Fixed-bed
- 1.0 MPa↓
- H<sub>2</sub>: 10 vol. %↑

